Селим Рами Салах Сабер

Спектр пульсаций развитого турбулентного пограничного слоя на пластине в несжимаемой жидкости

Специальность: 01.02.05 - Механика жидкости, газа и плазмы

АВТОРЕФЕРАТ

диссертации на соискание ученой степени кандидата физико-математических наук

Работа выполнена в федеральном государственном автономном образовательном учреждении высшего образования «Московский физикотехнический технический институт (национальный исследовательский университет)»

Научный руководитель: Жаров Владимир Алексеевич – доктор физико-

математических наук, старший научный

сотрудник

Ведущая организация: Государственное образовательное учреждение

высшего образования Московской области Московской государственной областной

университет

Защита состоится <u>29 июля 2022 года в 15 часов 00 минут</u> на заседании диссертационного совета **ФАКТ.01.02.05.005**, созданного на базе федерального государственного автономного образовательного учреждения высшего образования «Московский физико-технический технический институт (национальный исследовательский университет)» (МФТИ, Физтех)

по адресу: 141701, Московская область, г. Долгопрудный, Институтский переулок, д. 9.

С диссертацией можно ознакомиться в библиотеке МФТИ, Физтех и на сайте организации https://mipt.ru

Автореферат разослан «_	>>		2022 г.
-------------------------	-----------------	--	---------

Актуальность темы исследования:

Диссертационная рабата посвищена турбулентным течениям, которые встречаются во многих практических ситуациях. Один из наиболее важных случаев турбулентных течений – это течение газа и жидкости в пограничном слое (ПС). Изучению течения в турбулентном ПС до настоящего времени было посвищено огромное количество теоретических и экспериментальных работ [1-3]. В виду такой востребованности в технике возникает необходимость в достаточно простых и в тоже время содержательных моделях описания подобных течений. Поэтому в технике используются многочисленные так называемые инженерные модели [4]. Однако эти модели не содержат явлений, которые к настоящему времени были открыты экспериментальным путем [5, 6]. Когерентные структуры в турбулентном пограничном слое на плоской пластине являются наиболее актуальными экспериментальными явлениями турбулентности, как показано в работе [7, 8]. В то же время общий прогресс в области динамики жидкости и тепломассообмена оказывает влияние на численное моделирование турбулентности. Отметим здесь DNS и LES модели, которые требуют значительного машинного ресурса [9]. В связи с этим возникает необходимость построения таких моделей турбулентного пограничного слоя, которые содержат новые явления. существует многочисленная литература [10] по конструированию моделей турбулентности. Однако эти методы весьма формальны и не дают физических представлений о процессах, происходящих в развитом турбулентном пограничном слое. В связи с этим отметим волноводную модель [11, 12]. Оказалось, возможным применить эту модель к ТПС [13], и она отражает многие современные достижения в турбулентном ТПС.

Степень разработанности проблемы:

Прогресс в изучении однородных и изотропных турбулентных течений известен [14], чего нельзя сказать о течениях типа пограничного слоя. В последние десятилетия был опубликован ряд работ по изучению турбулентности в

турбулентных пограничных слоях. В работах [5] убедительно доказано существование когерентной динамической составляющей в турбулентных пограничных слоях (ТПС).

В монографии [15] приведены современные методы построения инженерных моделей турбулентности, основанных на ренормгрупповых подходах решения стохастических задач или так называемых подсеточных моделей. В работе [16] построена модель развитого ТПС с явным выделением когерентной составляющей потока.

Целью исследования:

Основной целью диссертационной работы является изучение физических (спектральных) характеристик волноводной модели развитого турбулентного пограничного слоя для несжимаемой жидкости, обтекающей пластину с нулевым продольным градиентом давления. При этом решались следующие задачи:

- 1. Сравнительная оценка методов корректного решения спектральной задачи.
- 2. Получение собственных значений спектральной задачи для уравнения Орра-Зоммерфельда на профиле средней продольной скорости ТПС, дисперсионных соотношений для мод и свойств множественного трехволнового резонанса.
- 3. Исследование когерентной структуры с точки зрения множественного 3-волнового резонанса и изучение ее динамической системы путем применения теоремы Биркгофа—Хинчина к системе уравнений динамики амплитуд мод множественного 3-волнового резонанса.
- 4. Построение характеристик ТПС на основе волноводной модели и сравнение с экспериментом.

Научная новизна:

- 1. Определены с высокой точностью моды уравнения Орра–Зоммерфельда на профиле средней продольной скорости в ТПС.
- 2. Сформулирована и решена система обыкновенных дифференциальных уравнений для совокупности волн в состоянии множественного трехволнового резонанса, описывающая когерентную структуру.
- 3. Полученная система автономных уравнений для амплитуд гармоники и субгармоник сопоставлена с теоремой Биркгофа—Хинчина (в формулировке А. Н. Колмогорова) и проверено численно свойство эргодичности этой системы.
- 4. Определены среднеквадратичные значения пульсаций скорости, напряжения сдвига Рейнольдса. Показано, что поведение касательного напряжения имеет качественное и количественное согласие с экспериментальными данными Клебанова.
- 5. Установлено, что полученные статистические характеристики ТПС определяются только когерентной частью полного решения задачи.

Теоретическая и практическая значимость работы:

- 1. Использована волноводная модель, которая сводит определение пульсаций скорости к динамике волн Т–Ш в развитом ТПС.
- 2. Явное выделение особенности течения (когерентной части турбулентного пограничного слоя) и определение статистических характеристик пульсаций.
- 3. Построена модель ТПС, которая не требует переопределения констант этой модели.
- 4. Математическая структура решения исходной задачи может быть полезна для построения инженерных моделей турбулентности в пограничном слое.

Методология и метод исследований:

В работе использовались ТФКП, Фурье-преобразование, метод сингулярной теории возмущений. Машинная аналитика (пакет прикладных программ MATEMATICA Wolfram Research v.5.0) используется для более сложных аналитических и численных расчетов.

на защиту выносится:

- 1. Решение существенных задач турбулентного движения в пограничном слое на плоской пластине при нулевом угле атаки в отсутствие продольного градиента давления.
- 2. Метод коллокаций для решения спектральной задачи уравнения Орр-Зоммерфельда на турбулентном профиле.
- 3. Определена динамическая система обыкновенных дифференциальных уравнений в состоянии множественного 3-волнового резонанса, представляющая следствие решения уравнений Навье-Стокса, моделирующая динамику турбулентных пульсаций.
- 4. Динамика волн Толлмина-Шлихтинга в состоянии множественного 3волнового резонанса, удовлетворяет условиям теоремы Биркгофа-Хинчина, поэтому можно предположить, что система уравнений для амплитуд гармоники и субгармоник обладает свойством эргодичности.
- 5. Построена волноводная модель для изучения, развитого ТПС, позволяющая определять статистические характеристики развитого ТПС.

Достоверность полученных результатов:

Достоверность изложенных численных результатов в данной диссертации представляется достаточно высокой. В работе проведено сравнение численных результатов с результатами других авторов. Проведено сопоставление численных результатов, полученных различными методами. Численные результаты в данной

работе хорошо согласуются с численными и экспериментальными результатами в ТПС.

Апробация работы:

- 1. 61-я Всероссийская научная конференция МФТИ, Жуковский, МФТИ, 19- 25 ноября 2018 г.
- 2. Международная многопрофильная конференция «Физические свойства материалов и дисперсных сред для элементов информационных систем, наноэлектронных устройств и экологических технологий», Москва, МГОУ, 17-18 апреля 2019 г.
- 3. 62-я Всероссийская научная конференция МФТИ, Жуковский, МФТИ, 19-25 ноября 2019 г.
- 4. Международная конференция «Перспективная элементная база микро-и наноэлектроники с использованием современных достижений теоретической физики», Москва, МГОУ, 16 сентября 2020 г.
- 5. 63-я Всероссийская научная конференция МФТИ, Жуковский, МФТИ, 23–29ноября 2020 г.
- 6. Международная конференция «Перспективная элементная база микро- и наноэлектроники с использованием современных достижений теоретической физики», Москва, МГОУ, 20–23 апреля 2021 г.

Личный вклад автора:

Все приведенные результаты исследований в данной диссертации, выполнены самим автором и под непосредственным руководством научного руководителя. Автором проведено сопоставление численных результатов, полученных различными методами. Автор неоднократно докладывал результаты диссертационной работы на научных конференциях.

Соответствие диссертации паспорту научной специальности:

Содержание данной работы соответствует паспорту специальности 01.02.05 – механика жидкости, газа и плазмы, в частности пунктам:

- п. 1 Реологические законы поведения текучих однородных и многофазных сред при механических и других воздействиях.
 - п. 3 Ламинарные и турбулентные течения.
 - п. 13 Гидродинамическая устойчивость.
 - п.14 линейные нелинейные волны в жидкостях и газах.

Объём и структура диссертации:

Диссертация состоит из введения, четырех глав, заключения, списка литературы и четырех приложений. Работа содержит в общей объем (116) страниц. В работе включены (45) рисунка, 17 таблиц и 140 источник информации.

КРАТКОЕ ОСНОВНОЕ СОДЕРЖАНИЕ РАБОТЫ

Во введении обсуждаются инженерные модели турбулентности, широко используемые в практической деятельности аэродинамиков-вычислителей. Акцентируется внимание на их недостатках. Делается обзор современных методов построения инженерных моделей и рассматривается физическая модель турбулентности на основе волноводной модели развитого ТПС.

В первой главе представлена формулировка спектральной задачи во временной постановке для уравнения Орра-Зоммерфельда для несжимаемой жидкости, обтекающей пластину с нулевым продольным градиентом давления.

В п. 1.1. Приведены уравнения для определения когерентной части амплитуды волны Толлмина—Шлихтинга в одномодовом приближении. Представлена динамическая система уравнений для амплитуд волн в множественного 3—волнового резонанса волн Толлмина-Шлихтинга. Собственные функции и дисперсионные характеристики спектральной задачи уравнения Орра-Зоммерфельда определены в широком диапазоне волновых чисел.

Система уравнения Орра-Зоммерфельда и Сквайра для Фурье-компонент вертикальной скорости $v_{\mathbf{k}}$ и вертикальной завихренности $\eta_{\mathbf{k}}$:

$$\left(\frac{\partial}{\partial t} + i \,\omega_{os}\right) \left(\frac{d^{2}}{dy^{2}} - k^{2}\right) \,\mathbf{v}_{\mathbf{k}} + \hat{\mathbf{L}}_{o-s} \,\mathbf{v}_{\mathbf{k}} = \,\varepsilon \,\widehat{\boldsymbol{D}}_{osi} \,\boldsymbol{T}_{i} - \,\varepsilon^{2} \,\widehat{\boldsymbol{D}}_{osi} \,\boldsymbol{Q}_{k\,i},
\hat{\mathbf{L}}_{o-s} = i(\alpha \,\bar{u} - \omega_{os}) \left(\frac{d^{2}}{dy^{2}} - k^{2}\right) - i \,\alpha \,\frac{d^{2}\bar{u}}{dy^{2}} - \frac{1}{Re_{\delta}} \left(\frac{d^{2}}{dy^{2}} - k^{2}\right)^{2}.
\left(\frac{\partial}{\partial t} + i \,\omega_{sq}\right) \left(\frac{d^{2}}{dy^{2}} - k^{2}\right) + \hat{\mathbf{L}}_{s-q} \,\eta_{\mathbf{k}} = \,\varepsilon \,\widehat{\boldsymbol{D}}_{sqi} \,\boldsymbol{T}_{i} - \varepsilon^{2} \,\widehat{\boldsymbol{D}}_{sqi} \,\boldsymbol{Q}_{k\,i},
\hat{\mathbf{L}}_{s-q} = i(\alpha \,\bar{u} - \omega_{sq}) + i \,\beta \,\frac{d\bar{u}}{dy} \,\mathbf{v}_{\mathbf{k}} - \frac{1}{Re_{\delta}} \left(\frac{d^{2}}{dy^{2}} - k^{2}\right).$$
(2)

$$\boldsymbol{T}_{i} = \frac{\partial}{\partial x_{j}} \big(\overline{u'_{\iota} \, u'_{J}} - u'_{i} \, u'_{j} \big), \widehat{\boldsymbol{D}}_{osi} = - \left(i \, \alpha \frac{\partial}{\partial y}, \, k^{2}, i \, \beta \frac{\partial}{\partial y} \right); \, \widehat{\boldsymbol{D}}_{si} = (i \, \beta, 0, -i \, \alpha),$$

$$Q_x = u' \frac{\partial \bar{u}}{\partial x} + \bar{v} \frac{\partial \bar{u}}{\partial y}, \qquad Q_y = v' \frac{\partial \bar{v}}{\partial y} + \bar{v} \frac{\partial v'}{\partial y}, \quad Q_z = \bar{v} \frac{\partial w'}{\partial y}.$$

Далее будет рассмотрено одномодовом приближение [11]

$$\mathbf{v_k} = \mathbf{A_k}(t) \, \varphi_{\mathbf{k}}(y) \, e^{-i\omega(\mathbf{k}) \, t_0 + i \, \mathbf{k} \cdot \mathbf{r_0}}, \mathbf{A_k} = \overline{\mathbf{A}_k^c} + \overline{\mathbf{A}_k'}, \tag{3}$$

где $A_{\bf k}$ (t) — представлена в виде суммы когерентной $\overline{A}^{\rm c}_{\bf k}$ и некогерентной $\overline{A}'_{\bf k}$. Затем когерентная часть амплитудной волны Толлмина Шлихтинга определяется следующим образом

$$\frac{\partial \overline{\mathbf{A}}_{\mathbf{k}}^{c}}{\partial t} = -\varepsilon \int \overline{\mathbf{H}}_{\mathbf{k}\mathbf{k}_{1}\mathbf{k}_{2}} \overline{\mathbf{A}}_{\mathbf{k}_{1}}^{c} \overline{\mathbf{A}}_{\mathbf{k}_{2}}^{c} d\mathbf{k}_{1} + O(\varepsilon^{2}),$$

$$\overline{\mathbf{H}}_{\mathbf{k}\,\mathbf{k}_{1}\mathbf{k}_{2}} = \mathbf{H}_{\mathbf{k}\,\mathbf{k}_{1}\mathbf{k}_{2}} e^{\mathrm{i}(\omega_{\Gamma}(\mathbf{k}) - \omega_{\Gamma}(\mathbf{k}_{1}) - \omega_{\Gamma}(\mathbf{k}_{2})) t}, \quad \mathbf{k}_{2} = \mathbf{k} - \mathbf{k}_{1}.$$
(4)

Где $H_{\mathbf{k_1k_2k_3}}$ [12] определяется интегралами от комбинаций собственных функций уравнения Орра-Зоммерфельда (1). Для амплитуды $\overline{A}_{\mathbf{k}}^{\,\,\mathrm{c}(0)}$ вертикальной составляющей скорости в Фурье-представлении в следующем виде решение уравнения (4) дает

$$\bar{\mathbf{A}}_{\mathbf{k}}^{c(0)}(t_{1}) = a_{1}(t_{1}) \, \delta(\mathbf{k} - \mathbf{k_{1}}^{(0)}) + a_{1}^{*}(t_{1}) \, \delta(\mathbf{k} + \mathbf{k_{1}}^{(0)})
+ \sum_{s} \left(a_{2}^{s}(t_{1}) \, \delta(\mathbf{k} - \mathbf{k_{2}}^{s(0)}) + a_{2}^{s*}(t_{1}) \, \delta(\mathbf{k} + \mathbf{k_{2}}^{s(0)}) \right)
+ \sum_{s} \left(a_{3}^{s}(t_{1}) \delta(\mathbf{k} - \mathbf{k_{3}}^{s(0)}) + a_{3}^{s*}(t_{1}) \, \delta(\mathbf{k} + \mathbf{k_{3}}^{s(0)}) \right).$$
(5)

Здесь $\mathbf{k_1}^{(0)} = \mathbf{k_2}^{\mathbf{s}(0)} + \mathbf{k_3}^{\mathbf{s}(0)}$, и $\mathbf{k_1}^{(0)}$ – волновое число основной гармоники, $\mathbf{k_l}^{\mathbf{s}(0)}$, l = 2,3; s = 1,2,...m, – волновые числа субгармоник, $\delta(\mathbf{x})$ – дельта-функция Дирака, (*) операция комплексного сопряжения. В результате получаем динамическую систему уравнений для амплитуд волн в состоянии множественного 3—волнового резонанса волн Толлмина-Шлихтинга:

$$\frac{da_1}{dt_1} = \sum_{s=1}^{m} \Lambda_1^s a_2^s a_3^s, \quad \frac{da_2^s}{dt_1} = \Lambda_2^s a_1 a_3^{s*}, \quad \frac{da_3^s}{dt_1} = \Lambda_3^s a_1 a_2^{s*}, \tag{6}$$

где Λ_l^s , l=1,2,3, $s=1,2\ldots,m$ являются комплексными числами, которые могут быть вычислены из интегралов характеристик собственных функций уравнения Орра-Зоммерфельда $H_{\mathbf{k_1k_2k_3}}$ [12].

- **В п. 1.2 и п. 1.3** обсуждается дискретный спектр собственных значений и собственных функций спектральной задачи для уравнения Орра-Зоммерфельда (1). Основная цель состоит в том, чтобы получить характеристики этого спектра: дисперсионные соотношения, резонансы и т.д.
- **В п. 1.4.** Обсуждается профиль продольной скорости в ламинарных и турбулентных пограничных слоях [17, 18]. Тестируется аналитическая модель профиля средней продольной скорости ТПС, предложенная в [18]. Показано, что этот профиль средней продольной скорости в ТПС достаточно хорошо отображает свойства турбулентного пограничного слоя.

Во второй главе Представлены результаты решения спектральной задачи для уравнения Орра-Зоммерфельда (1) при использовании профиля Блазиуса [17] и профиля ТПС [18] с использованием конечно-разностных и коллокаций методов.

- **В п. 2.1 и 2.2** Сформулированы два численных подхода решения спектральной задачи: конечно-разностный и коллокаций методы и проведено сравнение между ними.
- **В п. 2.3** Рассмотрена постановка и представлено решение спектральной задачи для Орра-Зоммерфельда (1) на профиле Блазиуса [17] с целью сравнения используемых методов с известными высокоточными решениями.

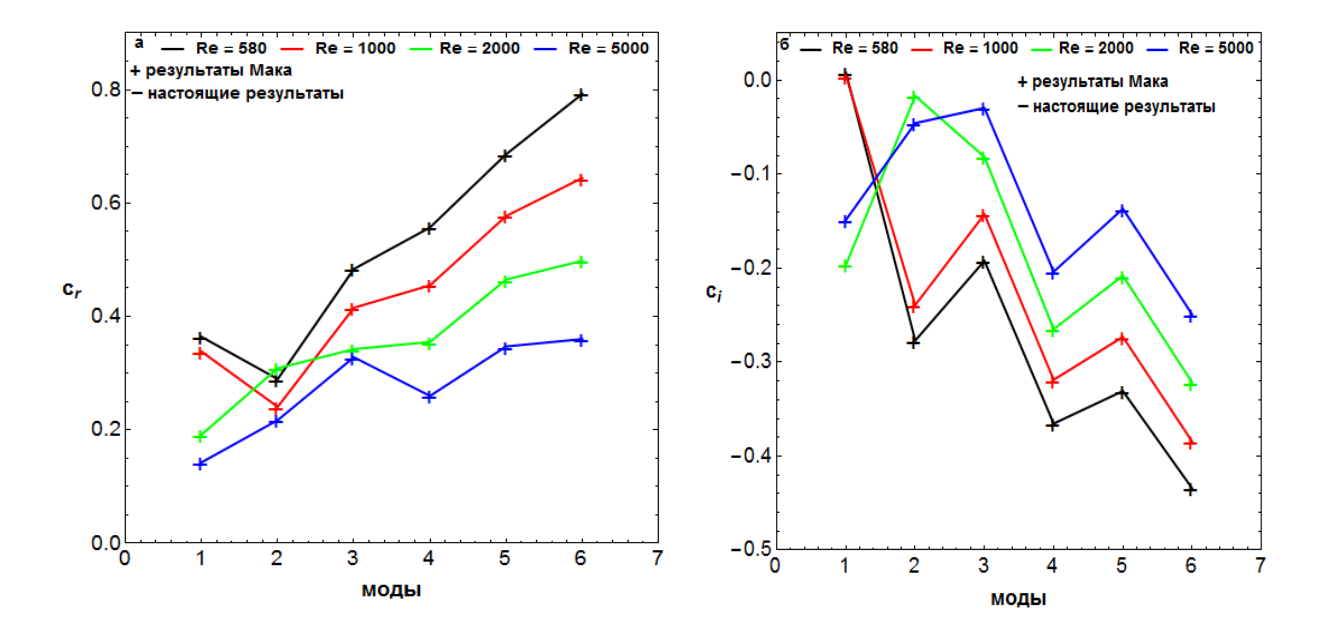


Рис.1. Сравнение дисперсионного соотношения (а, б) для шести мод с результатами работы [19] при разных значениях числа Рейнольдса.

Получено хорошее совпадение на рис. 1 с результатами работы [19] при разных значениях числа Рейнольдса. Количество точек коллокации важно в этом исследовании, поскольку оно обеспечивает высокую точность (см. рис.2).

В п. 2.4 Получены спектральные характеристики уравнения Орра-Зоммерфельда (1) на профиле средней продольной скорости ТПС [18].

На рис. 3 показано сравнение первых двух мод между двумя различными методами (ССМ, FDM) сформулировано в верхней части рисунка, а мнимая часть - внизу. Все результаты сформулированы в цветовой кривой, чтобы их было легко отличить. Первая мода обозначается символом (1-мод), а вторая т.е - (2-мод).

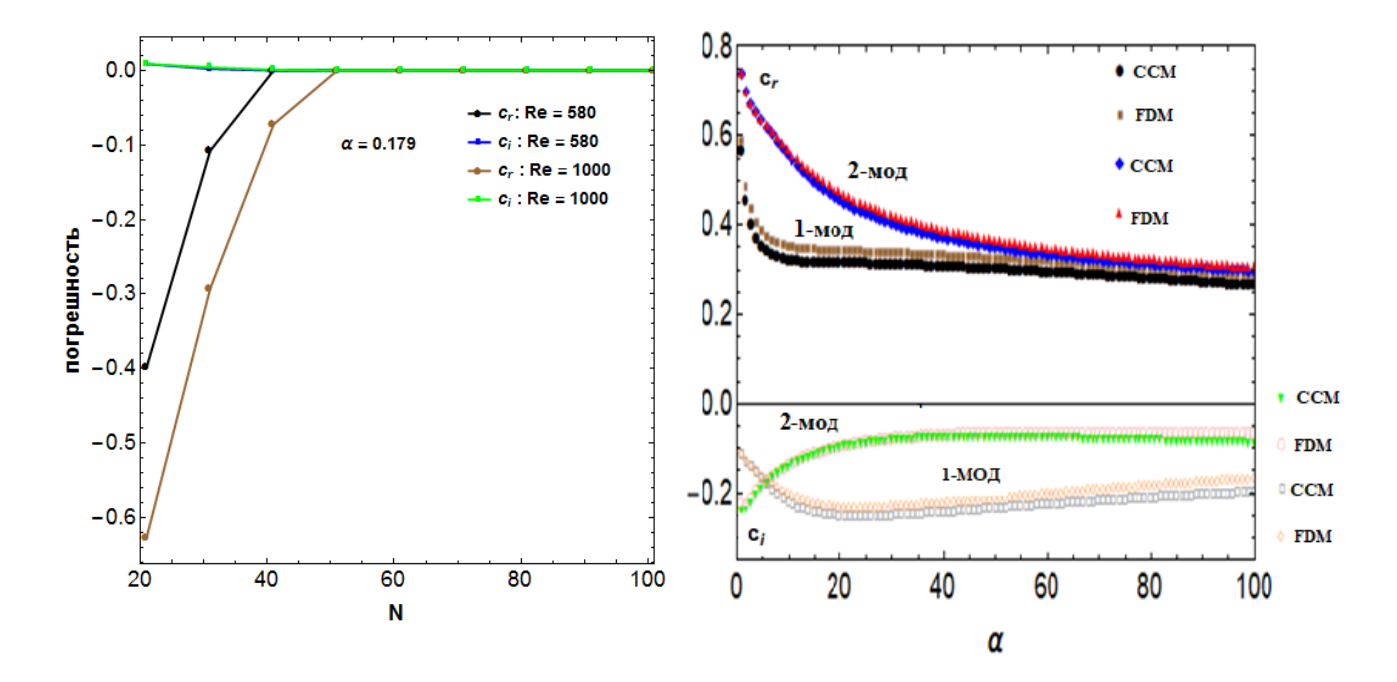


Рис.2. Сходимость первого собственногозначения, относительная погрешность как функция числа полиномов Чебышева N.

Рис.3. Сравнение дисперсионного соотношения для первой и второй моды двумя различными методами: конечноразностным (FDM), метод коллокаций (ССМ), где первый обозначается (1-мод)t, второй — (2-мод).

Конечно, точное решение неизвестно, но точность приближенного решения можно проверить, повторив вычисления с более высокой, как показано на рис. 4.

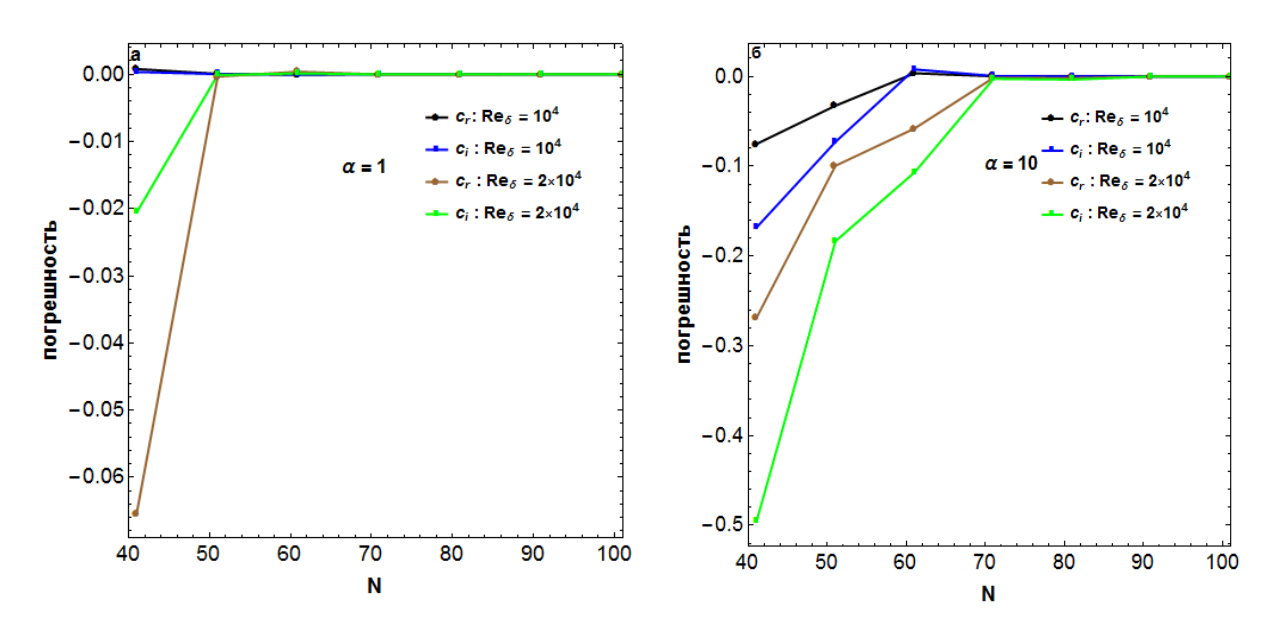
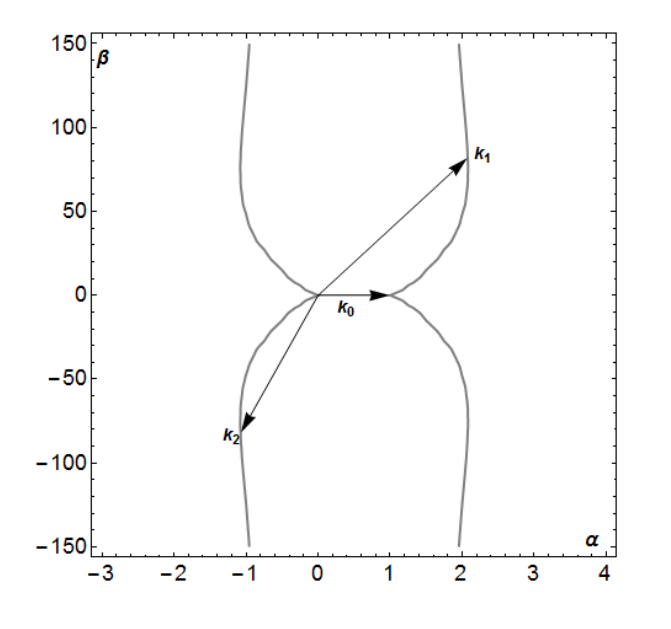


Рис.4. Сходимость первого собственного значения. Относительная погрешность как функция числа полиномов Чебышева, N. (а) при $\alpha=1$, (б) $\alpha=10$.

В третьей главе показано, что уравнение (6) в простейшем случае имеет нетривиальные реальные решения, если имеют решение уравнения (так называемый распадный спектр):

$$\mathbf{k}_0 = \mathbf{k}_1 + \mathbf{k}_2, \quad \boldsymbol{\omega}(\mathbf{k}_0) = \boldsymbol{\omega}(\mathbf{k}_1) + \boldsymbol{\omega}(\mathbf{k}_2). \tag{7}$$

Как показано на рисунке (5, 6) кривая 3-волнового резонанса (7) представляет собой совокупность действительных собственных значений для наименее затухающей моды и структура гармоники и субгармоник в состоянии трехволнового резонанса.



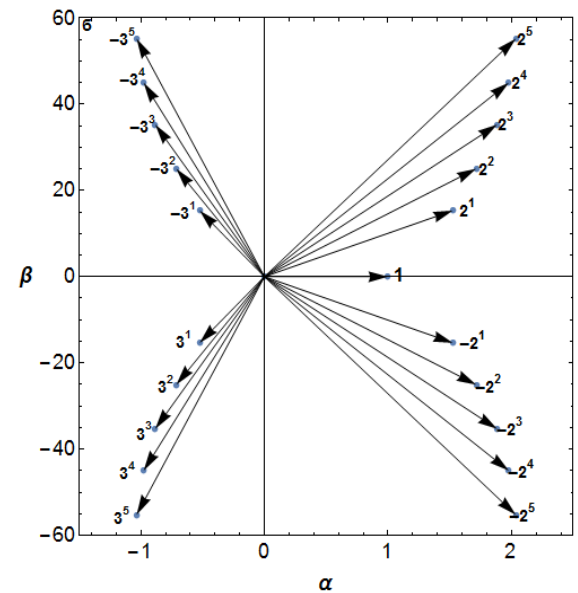


Рис.5. Кривая 3-х волнового резонанса Рис.6. для наименее затухающей моды волн Т- субгар Ш, при $Re_{\delta} = 10^4$, $\mathbf{k_0} = (1,0)$.

Рис.6. Структура гармоники и субгармоник в состоянии трехволнового резонанса

На рис. 7 показана зависимость значений множителей $q_{12}(\beta)$, и $q_{13}(\beta)$ для множественного 3-х волнового резонанса от β .

Первый интеграл (динамический инвариант) системы дифференциального уравнения (6), вследствие инвариантности исходного уравнения относительно преобразования подобия,

$$a_l(t_1, t_2) = \phi(t_2)\tilde{a}_l(\phi(t_2)\tilde{t}_1, t_2), l = 1, 2, 3,$$
 (8)

можно нормировать на 1.

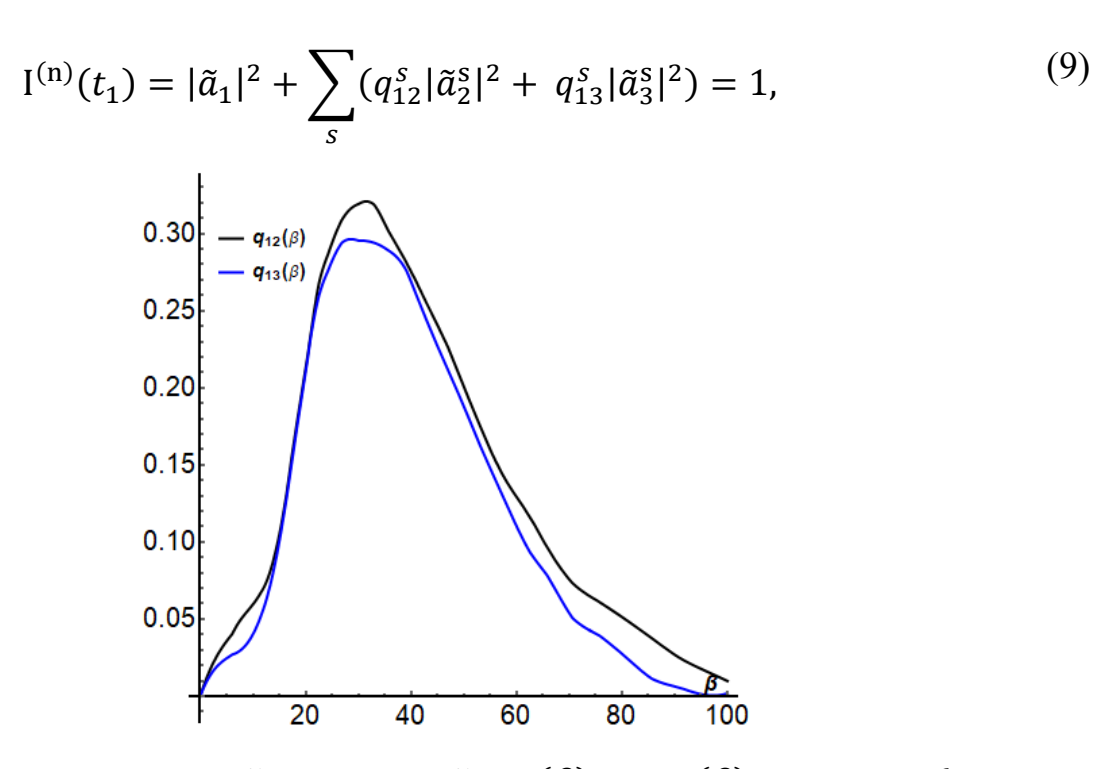


Рис.7. Зависимость значений множителей $q_{12}(\beta)$, и $q_{13}(\beta)$ для множебтвенного 3-х волнового резонанса от поперечного волнового числа.

где q_{12}^s и q_{13}^s определяются через коэффициенты системы уравнений (6). В случае, когда $q_{12}^{(s)}(\beta)>0$, $q_{13}^{(s)}(\beta)>0$, инвариант $I^{(n)}(t_1)$ с помощью линейного преобразования

$$\tilde{a}_l^s = \sqrt{q_{1l}^s} a_l^s$$
, $l = 2$, 3. $s = 1, 2, ... m$. (10)

можно преобразовать к уравнению *п*-мерной единичной сферы.

В четвертой главе С позиций волноводной модели турбулентного пограничного слоя определены среднеквадратичные значения пульсаций скорости в турбулентном пограничном слое на пластине при нулевом угле атаки с нулевым продольным градиентом давления.

В п. 4.1 используется определение осреднения [12], которое необходимо для получения формул средних компонент тензора напряжений на основе волноводной модели для развитого ТПС.

$$\overline{u'_{i} u'_{j}} = \langle \lim_{t_{1} \to \infty} \frac{1}{t_{1}} \int_{0}^{t_{1}} \left(\lim_{t_{0} \to \infty} \frac{1}{t_{0}} \int_{0}^{t_{0}} u'_{i} u'_{j} dt_{0} \right) dt_{1} \rangle.$$
(11)

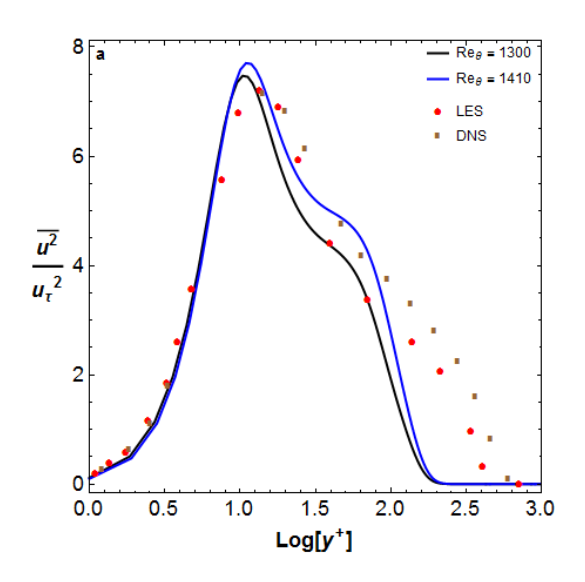
Используя уравнение непрерывности и выражение нормальной составляющей завихренности, можем получить компоненты Фурье продольной и поперечный скорости можно выразить средний квадрат пульсации продольной скорости, который после усреднения по (t_0, t_1) имеет вид:

$$\overline{u^2} = \frac{\phi^2}{(2\pi)^3} \left(a(\mathbf{k}_1, y) + 2 b(\mathbf{k}_l^s, y) \frac{dU}{dy} + 2 c(\mathbf{k}_l^s, y) \left(\frac{dU}{dy} \right)^2 \right), \tag{12}$$

$$\tau = \frac{\phi^2}{(2\pi)^3} \left(d(\mathbf{k_1}, y) + 2 \sum_{s=1}^m \sum_{l=2}^3 \frac{(|a_l^s|^2)_{t_1}}{|\mathbf{k_l}^s|^2 q_{1,l}^s} \left(e(\mathbf{k_l}^s, y) + f(\mathbf{k_l}^s, y) \right) \frac{dU}{dy} \right),$$
(13)

где $\phi = \sqrt{\lambda/\Phi}$ коэффициент пропорциональности в законе подобия определен в работе [12].

На рисунке 8 (а, б) представлены сравнения величины $\overline{u^2/u_\tau^2}$ с DNS и LES [20, 21] и величины u^+_{rms} с DNS и с экспериментальными данными [1, 22] при длине волнового векторва основной гармоники равной 1. Видно, что во внешней области пограничного слоя результат, полученный по рассматриваемой модели, отличается от поведения этих величин, полученный с DNS и LES. Однако, если заменить длину волнового ветора гармонки на 0.5, то сравнение улучшается. Повидимому, это связано с асимптотической неопределенностью определения полной толщины пограничного слоя.



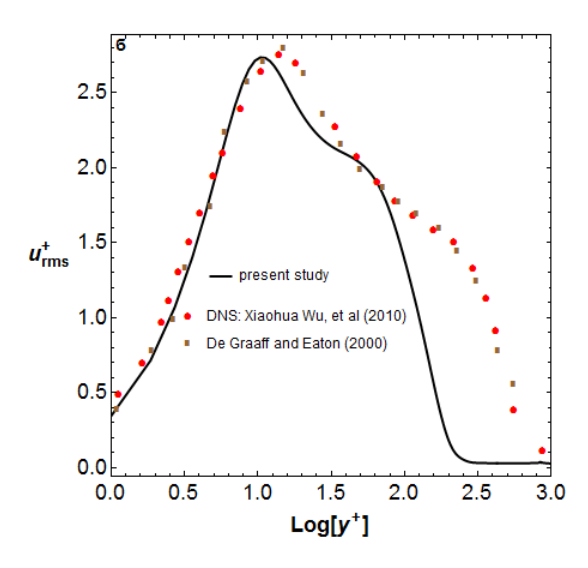
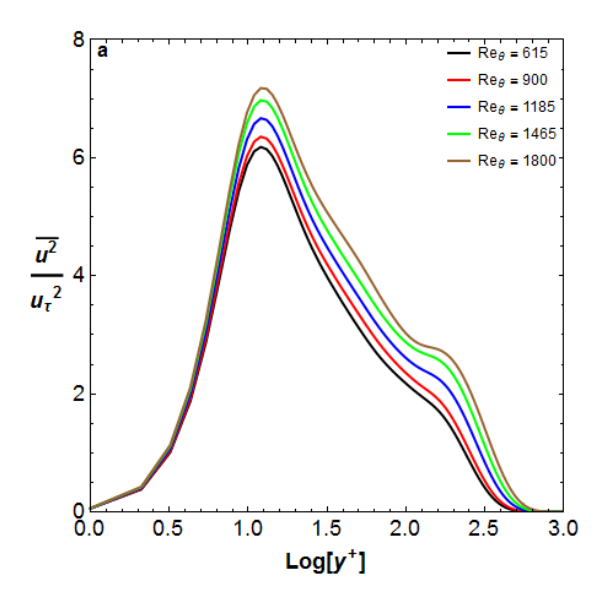


Рисунок 8. (а) Сравнение $\overline{u^2/u_{\tau}^2}$: черная, синяя линия — настоящее исследование при $\mathbf{k_1}=(1,0)$. ("•") — LES [20], при $Re_{\theta}=1300$; ("•") — DNS [21], $Re_{\theta}=1410$. (б) Сравнение u^+_{rms} : черная линия — настоящее исследование, ("•") — DNS [1], ("•") — экспериментальные данные [22], при $Re_{\theta}=1300$.



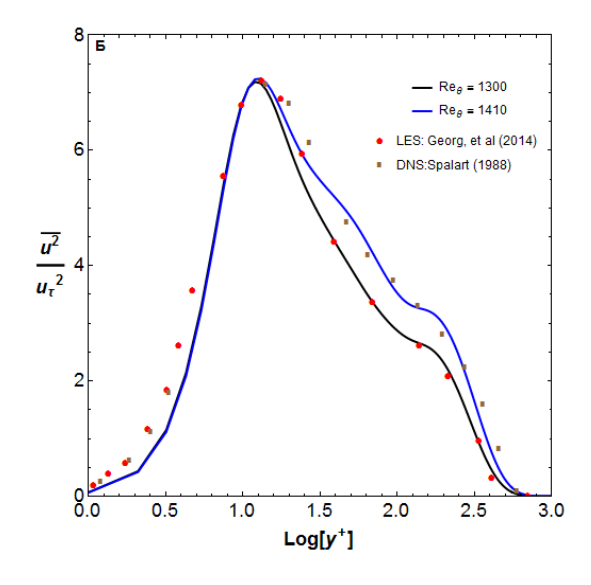
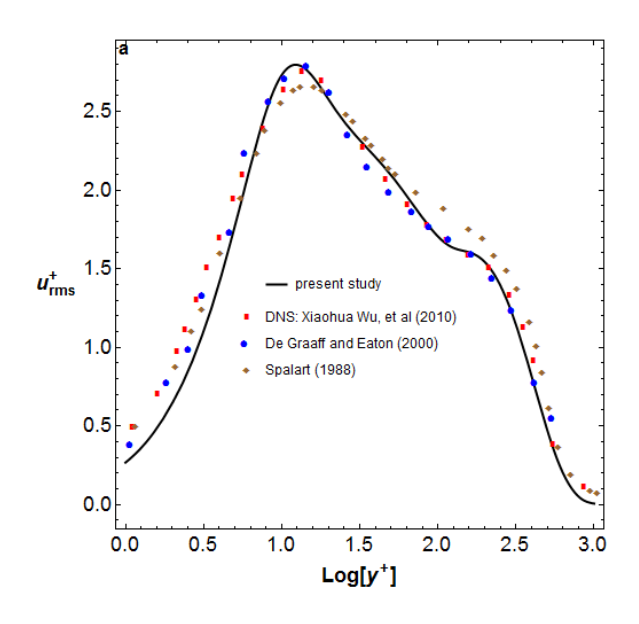


Рис.9. (а) — профили величины $\overline{u^2/u_{\tau}^2}$ при $\mathbf{k_1}=(0.5,0)$, $Re_{\theta}=615-1800$. (б) — Сравнение $\overline{u^2/u_{\tau}^2}$: черная, синяя линия — настоящее исследование; ("•") — LES [20], при $Re_{\theta}=1300$; ("•") — DNS [21], $Re_{\theta}=1410$.

В п. 4.2 приведено поведение среднего квадрата пульсации продольной скорости (12) при длине волнового векторва основной гармоники равной 0.5 в

пристеночной области при различных числах Рейнольдса от $Re_{ heta}=615$ до $Re_{ heta}=$ 1800.

На рис. 9 (a) полученные результаты относительно $\overline{u^2/{u_{ au}}^2}$ хорошо согласуются как с численными результатами LES [20] так и с данными прямого численного моделирования [21] по всей толщине пограничного слоя как показано на рис. 9 (б). На рис. 10 показаны среднеквадратичные пульсации продольной скорости $u^+_{rms} =$ в ТПС при $Re_{\theta}=1410,1840$ соответственно. Можно видеть, что результаты, полученные на основе волновой модели, имеют количественное и качественное соответствие с численными [1, 21] и экспериментальными результатами [22].



2.5 2.0 **u**⁺_{rms} 1.5 DNS: Xiaohua Wu (2010) 1.0 Purtell et al (1981) Isson and Johansson (1988) 0.5 0.0 1.5 2.0 2.5 Log[y+]

Рис.10. (a) $-u^{+}_{rms}$ как функция y^{+} , (б) $-u^{+}_{rms}$ как функция y^{+} , при $Re_{\theta}=$ при $Re_{\theta} = 1410, \mathbf{k_1} = (0.5, 0)$: исследование; ("•") — DNS[1]; ("•") — DNS — [21]; ("•") — [22].

 $1840, \mathbf{k_1} = (0.5, 0)$: Сплошные линии (Сплошные линии (——) — настоящее ——) — настоящее исследование; ("•") [1];(**""**") экспериментальные данные (" ♦") — [24]; ("**\up**") — [25].

Результаты, полученные при $Re_{\theta} = 1840$ с использованием волновой модели, количественно и качественно согласно с численными [1, 23] и экспериментальными результатами [24, 25].

В п. 4.3 представлены результаты, описывающие поведение напряжений Рейнольдса (13) в турбулентном пограничном слое. Напряжения сдвига Рейнольдса показаны на рис. 11 (а) при различных значениях числа Рейнольдса. Кроме того, видно хорошее согласие с данными прямого численного моделирования [26, 27] при $Re_{\theta} = 441$ (рис. 11 (б)).

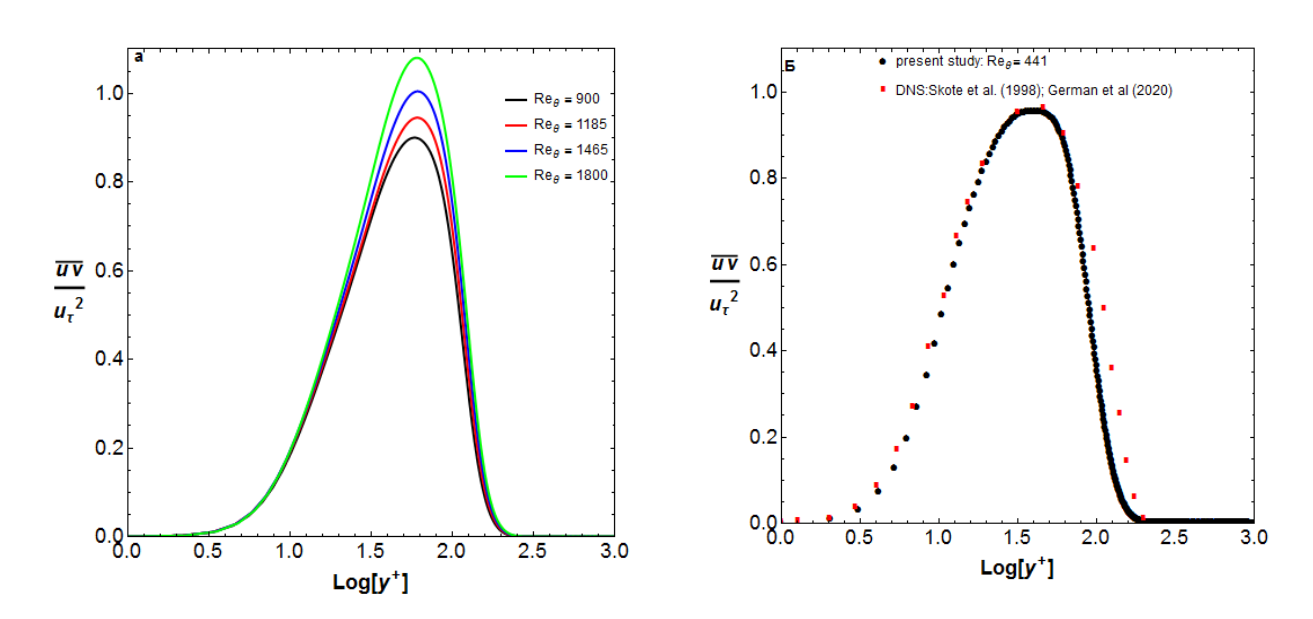


Рис.11. (а) — Напряжение сдвига Рейнольдса при $\mathbf{k_1}=(0.5,0)$, отнесенное к динамической скорости, при различных значениях числа Рейнольдса: (——) $Re_{\theta}=900;$ (——) $Re_{\theta}=1185;$ (——) $Re_{\theta}=1465;$ (——) $Re_{\theta}=1800.$ (

ЗАКЛЮЧЕНИЕ РАБОТЫ

В данной диссертационной работе решена важная задача определения турбулентной динамики несжимаемой жидкости, протекающей по пластине под нулевым углом атаки с нулевым продольным градиентом давления. Получены

результаты, которые имеют научное значение, на основе решенной задачи, сделаны следующие выводы:

- Высокая точность использования метода коллокаций проявляется в появлении типичной экспоненциальной точности метода при увеличении числа точек коллокации. При сравнении полученных результатов с известными прецизионными результатами Мака обнаруживается хорошее согласие. Ясно, что метод коллокации с полиномами Чебышёва очень эффективен, так как он создает матрицы, которые имеют небольшую размерность и обычно являются хорошо обусловленными.
- Верификация численных результатов проводилась с помощью сравнения с результатами, полученными другими численными методами на профиле средней продольной скорости развитого ТПС. Это сравнение показало хорошее совпадение.
- Сформулирована и решена система обыкновенных дифференциальных уравнений для совокупности волн в состоянии множественного трехволнового резонанса, описывающая когерентную структуру.
- Полученная система автономных уравнений для амплитуд гармоники и субгармоник сопоставлена с теоремой Биркгофа—Хинчина (в формулировке А. Н. Колмогорова), и проверено численно свойство эргодичности этой системы.
- Определены среднеквадратичные значения пульсаций скорости, напряжения сдвига Рейнольдса. Показано, что поведение касательного напряжения имеет качественное и количественное согласие с экспериментальными данными Клебанова.
- Установлено, что полученные статистические характеристики ТПС определяются только когерентной частью полного решения задачи.

Основные результаты диссертационной работы опубликованы в следующих научных изданиях

- 1. Селим, Р. С. Собственные моды уравнения Орра-Зоммерфельда в развитом турбулентном пограничном слое // Журнал Труды Маи. —2019.—. № 109. URL: https://trudymai.ru/published.php?ID=111352. DOI: 109-5
- 2. Zharov, V. A. Heat transfer in the boundary layer in an compressible fluid in terms of waveguide turbulence model / V. A. Zharov, R.S. Selim // Journal of physics: Conference Series. —2019.—. Vol.1309.
- 3. Селим, Р. С. Собственные значения уравнения Сквайра для ламинарных и развитых турбулентных пограничных слоев // Журнал Труды Маи. —2020.—
 . № 112. URL: https://trudymai.ru/published.php?ID=116333. DOI: 10.34759/trd-2020-112-5
- Жаров, В. А. Волновая модель организованных структур в турбулентном пограничном слое на пластине с нулевым продольным градиентом давления / В.А Жаров, И.И. Липатов, Р.С. Селим // Учёные записки ЦАГИ. 2020. Т. 51. №6. С.51-59. https://www.elibrary.ru/item.asp?id=44688158.
- 5. Жаров, В. А. Спектральные характеристики течения несжимаемой жидкости в турбулентном пограничном слое / В.А Жаров, И.И. Липатов, Р.С. Селим // Вестник МГОУ. Серия: Физика-Математика. —2020. —. №4. С. 12 27. https://doi.org/10.18384/2310-7251-2020-4-12-27.
- 6. Zharov, V. A. Mathematical Modeling of Incompressible Fluid Flow in Turbulent Boundary Layers / V. A. Zharov, I.I. Lipatov, R.S. Selim // Lecture Notes in Civil Engineering: Proceedings of the XIII International Scientific Conference on Architecture and Construction. 2020. P. 391 405.
- 7. R.S. Selim. Determination of Thermal Conductivity Coefficient in the Turbulent Boundary Layers // Lecture Notes of Mechanical Engineering: Safety in Aviation and Space Technologies. 2021. Pp. 191-200.

- 8. R.S. Selim. Determination of Reynolds shear stress from the turbulent mean velocity profile and spectral characteristics of Orr-Sommerfeld -Squire equations // Journal of physics: Conference Series. 2021. Vol 2056.
- 9. Селим, Р. С. Турбулентная статистика с точки зрения когерентной структуры в пограничном слое // Вестник МГОУ. Серия: Физика-Математика. —2021.
 —. №4. С. 75 85. https://doi.org/10.18384/2310-7251-2021-4-75-85.
- 10.Жаров, В. А. Пульсационные характеристики скорости в рамках волноводной модели развитого турбулентного пограничного слоя / В.А Жаров, Р.С. Селим // Учёные записки ЦАГИ. 2022. Т. 53. №2. С.28-37.

СПИСОК ЛИТЕРАТУРА

- 1. Xiaohua Wu., Parviz Moin. Transitional and turbulent boundary layer with heat transfer // physics of fluids. 2010. —V. 22, p. 085105.
- 2. Hussein Togun, S.N. Kazi, Ahmed Badarudin. Review of Experimental Study of Turbulent Heat Transfer in Separated Flow // Australian Journal of Basic and Applied Sciences. 2011. —V. 5, No.10.— p. 489 505.
- 3. Kenzo Sasaki, Ricardo Vinuesa, André V. G. Cavalieri, Philipp Schlatter and Dan S. Henningson. Transfer functions for flow predictions in wall-bounded turbulence // J. Fluid Mech. —2019. —V. 864. p. 708–745.
- 4. Гарбарук А.В. Моделирование турбулентности в расчетах сложных течений: учебное пособие / А.В. Гарбарук М.Х. Стрелец, М.Л. Шур. СПб: Изд-во Политехн. унта. 2012. —88 с.
- 5. Cantwell B.J. Organized motion in turbulent flow // Ann. Rev. Fluid Mech. 1981.
 V.13. p. 457 515.
- 6. Катасонов М.М. Возникновение и развитие локализованных возмущений в круговой трубе и пограничном слое: учеб. Пособие / М.М. Катасонов, В. В. Козлов, Н.В. Никитин, А.С. Сбоев. Новосибирск: РИЦ НГУ. 2014. 222 с.
- 7. Kline J., Reynolds W.C., Schraub F.A., Runstadler P.W. The structure of turbulent boundary layers // J. Fluid Mech. —1967. —V. 30. p. 741–773.
- 8. Горелов С.Л. Жаров В.А., Хлопков Ю.И. Когерентные структуры в турбулентном пограничном слое // М: МФТИ. 2002. с. 267
- 9. Spalart P. R. Strategies for turbulence modeling and simulations // Int. J. Heat Fluid Flow. —2000. V. 21.— p. 252–263.
- 10. Yakhot V., Steven A. Orszag. Renormalization Group Analysis of Turbulence //
 Journal of Scientific Computing. 1986. —V. 1, No. 1.
- 11. Landahl M. T. A wave-guide model for turbulent shear flow // J. Fluid Mech.— 1967. —V. 29, No. 3. p. 441 459.

- 12. Жаров В.А. Волноводная модель когерентной и стохастической составляющих развитого турбулентного пограничного слоя // Труды ЦАГИ. 2014а. вып. 2731. с. 3 48.
- 13. Жаров В. А., Липатов И. И., Селим Р. С. Волновая модель организованных структур в турбулентном пограничном слое на пластине с нулевым продольным градиентом давления // Научные записки ЦАГИ. 2020. Т.51, №6. С.–51–59.
- 14. Аджемян Л.Ц., Антонов Н.В., Васильев А.Н. Квантово-полевая ренормализационная группа в теории развитой турбулентности // УФН. 1996. —Т. 166, №2. С. 1257–1284.
- 15. Хлопков Ю.И., Жаров В.А., Горелов С.Л. Ренормгрупповые методы описания турбулентных движений несжимаемой жидкости // М.: МФТИ. 2006. с. 492.
- 16. Walker J.D.A., Herzog S. Eruption mechanisms for turbulent flows near walls // Proc. 2nd Int. Symp. On Transport Phenomena in Turbulent Flows. Tokyo. —1987.
- 17. Schlichting H. and Gersten K. Boundary Layer Theory // Springer. 8th Ed., Berlin. —2000.— P.145–494.
- 18. Musker A. J. Explicit expression for the smooth wall velocity distribution in turbulent boundary layer//AIAA Journal. 1979.—V.17, No. 6. —P. 655 657.
- 19. Mack L.M. A numerical study of the temporal eigenvalue spectrum of Blasius boundary layer flow // J. Fluid Mech. —1976. —V. 73, No.3. P.497–520.
- 20. Georg E.A., Ramis Ö, Philipp, S. Simulation and validation of a spatially evolving turbulent boundary layer up to Re = 8300 // International Journal of Heat and Fluid Flow.—2014.—V.47.—P.57–69.
- 21. Spalart P. R. Direct simulation of a turbulent boundary layer up to $Re_{\theta} = 1410 \text{ // J. Fluid Mech.} -1988. -V.187. -- P. 61.$

- 22. Graaff D. B. De., Eaton J. K. Reynolds-number scaling of the flat-plate turbulent boundary layer // J. Fluid Mech. —2000. —V.422. P. 319 346.
- 23. Dong L, Kun. L, and Jianren. F. Direct numerical simulation of heat transfers in a spatially developing turbulent boundary layer // Physics of Fluids. —2016.— V. 28, 105104.
- 24. Purtell L. P. Turbulent boundary layer at low Reynolds number // Phys. Fluids.

 1981. V. 24, Issue 5. —P.802–8011.
- 25. Karlsson R. I. and. Johansson. T. LDV measurements of higher order moments of velocity fluctuations in a turbulent boundary layer // International Symposium on Applications of Laser Anemometry to Fluid Mechanics, 3rd, Lisbon, Portugal, Proceedings (A87-40701 17-35). Lisbon, Institute Superior Technician Laser Anemometry in Fluid Mechanics, (Lisbou, Portugal). —1986. P. 273–289.
- 26. Skote M., Henningson Dan S., and Henkes R. A. W. M. Direct numerical simulation of self-similar turbulent boundary layers in adverse pressure gradients // Flow Turbulence and Combustion. —1998. —V.60, No. 1. P. 47–85.
- 27. German S., Guillermo A. Reynolds shear stress modeling in turbulent boundary layers' subject to very strong Favorable Pressure Gradient // Computers and Fluids. 2020. DOI: https://doi.org/10.1016/j.compfluid.2020.104494.